

تجزئة الأغراض في الصور الرقمية وتصنيفها¹

م. المهندس محمد أيمن العقاد² الدكتور المهندس حسن أبو النور³

الملخص

نعرض في هذه الورقة تحديداً آلياً لنقاط العلام المسيطرة dominant landmarks في الأجسام وتقديرآ لنقوسات سطوح الأجسام objects surfaces curvature بهدف الوصول إلى موصفات شكل ثابتة invariant shape descriptions. إنَّ الموصفات المستبطة ضرورية من أجل بناء نماذج الأجسام ثلاثية الأبعاد وتحليلها وعمليات التعرف. تُستخدم المعرفة المسبقة a priori knowledge ببنية الوجه البشري. استخدمنا طريقة جديدة في تمثيل الأجسام، دعوناها صيغة عرض النبضة المتغير (varying pulse width form) VPWF، والتي ليست فقط مناسبة من أجل التعرف بل أيضاً في التنفيذ العتادي، والاتصالات، وتقنيات الضغط، والتزامن، والرسوم المتحركة.

كلمات مفتاحية: نقاط العلام المسيطرة dominant landmarks، نقوسات السطوح surface curvature، المعرفة المسبقة a priori knowledge ببنية الوجه البشري، بناء النماذج ثلاثية الأبعاد 3D model construction .Pattern recognition

¹ أعد هذا البحث في سياق رسالة الدكتوراه للطالب المهندس محمد أيمن العقاد بإشراف الأستاذ الدكتور المهندس حسن أبو النور.

² قسم هندسة الحاسوب والأتمتة- كلية الهندسة الميكانيكية والكهربائية- جامعة دمشق.

³ قسم هندسة الالكترونيات والاتصالات- كلية الهندسة الميكانيكية والكهربائية- جامعة دمشق.

1. مقدمة:

بناءً على خريطة التوجه، المستبطة في [١]، والتي تؤمن نقلًا للصورة رمادية التدرج إلى حقل شعاع الناظم normal، يمكننا استخراج نقاط العلام المسيطرة في الأجسام ونقوسات السطوح.

نقدم في هذا البحث تقنية جديدة دعوناها صيغة عرض النسبة المتغير VPWF لتمثيل الأغراض Variable Pulse Width Format للطائق الموجودة [١٥، [١٦، [١٨] فيما يتعلق بالتنفيذ، وضغط المعطيات، والتعامل مع الرسوم المتحركة.

سنحدد نقاط علام مسيطرة، والتي هي ثابتة بالنسبة لتغييرات الوضعية وشروط الإضاءة، والتي تبقى ثابتة بالنسبة لكل أنواع التحويلات. سيتم التحديد بكشف تلك العبرات المصاحبة لتغييرات في محتوى الصورة أو التباين، وعلى أساس البنية المعروفة للوجه البشري. من ثم تثبت نقاط العلام هذه ضمن النموذج ثلاثي الأبعاد، وتستخدم لتحديد النقاط الأساسية لسطح الجسم.

من ثم نستخدم تقدير التقوس للسطح، لأن تقوسات السطوح هي المفتاح في حساب موصفات الأشكال وتصنيف أنواع مختلفة من السطوح. كما أن موصفات التقوس للوجه البشري غنية بالمعلومات، وفريدة مثل بصمات الأصابع. تقدم تغييرات التقوس توصيفاً مستقرأً نسبياً، لأنها تبقى قابلة للكشف ضمن مجال واسع من التحويلات الإحداثية. (نستخدم الزوايا بين أشعة متعدادات رقع سطح متجاورة في قياس التقوس المنفصل).

تملك الأشكال المتشابهة في المفهوم العام موصفات متشابهة، حتى لو اختلفت في التفاصيل ضيقة المجال. كما تبني الأشكال المعقدة من ترتيبات معينة لمكونات أساسية.

عند الحديث عن الأجسام ثلاثية الأبعاد لابد من التطرق إلى المحددات التقاضلية التي تصف هذه الأجسام (كزرويا الأعمدة على السطوح و تقسّمات السطوح) حيث توجد طرائق لحساب هذه المحددات وتقديرها في جوار محمد.
وتقسم الأجسام ثلاثية الأبعاد إلى:

1. أجسام ثلاثة أبعاد بسيطة^[4] وهي (إما رقع سطوح مستوية Planar، أو رقع سطوح كروية Spherical، أو رقع سطوح اسطوانية Cylindrical) وتستخدم في بناء نماذجها الهندسية (إما كثيرات الأضلاع Polygons^[5]، أو ثائيات الدرجة المتعددة Super-quadratics^[6]، أو التقسيم المثلثي Triangulation^[7]).
2. أجسام ثلاثة أبعاد معقدة وتستخدم في دراستها الطرائق الآتية (إما طرائق تحليل الأشكال Linear object classes Shape decomposition^[7,8]، أو البنى الخطية Object-Oriented models^[9]، أو تمثيل الأجسام المعقدة Complex Objects Representation^[10]) وتستخدم في بناء نماذجها الهندسية (إما النماذج غرضية التوجه Topological models^[11]، أو النماذج الطبوغرافية Topological models^[12]، أو التحليل الفراغي Spatial analysis^[13,14]).

2. تحديد نقاط العلام المسيطرة:

تعريف(1): نقاط العلام المسيطرة في جسم ما هي نقاط ذات تقوس كبير أو نقاط وصل.

وتحدد أي ثلات نقاط تقع في مستوى ولا تقع على مستقيم واحد شعاعين، هما الأساس في تحديد موقع نقاط أخرى تقع في المستوى نفسه.

تحسب زرويا توجه الناظم على عقد nodes النموذج ثلاثي الأبعاد بالنسبة للشعاع Sp الناظم على المستوى المرجعي (مستوى الصورة)، وتختر الخطوة المنتظمة في حساب النموذج ثلاثي الأبعاد بشكل يتم فيه الحفاظ على تفاصيل الجسم. تحدد العقدة في نموذجنا ثلاثي الأبعاد نقطة، أو نقطة نهاية، أو زاوية في مضلع حيث تلتقي

حافتان. يكون التشكل الناتج ثابتاً بالنسبة لغيرات الوضعية، ومن ثم ثابتاً بالنسبة لتحولات منظورية طفيفة. إن نقاط العلام الخاصة في الوجه يمكن أن تكون غمازة، أو وحمة، أو شامة، أو بقعه جلدية، أو خالاً، أو صباغاً جلدياً، أو ندبة. في حين نقاط العلام الأساسية هي زوايا العيون، رأس الأنف، مركز الفم، الذقن، الخ.

تظهر مجموعات من التغيرات شبه المتناظرة عند الزوايا الداخلية للعيون أو جسر الأنف، والزوايا الخارجية للعيون، وقاعدة الأنف وغالباً ما تظهر أيضاً عند المنخرين، وعند الزوايا الخارجية للفم، وعند الغمازات. من ضمن هذه النقاط وجدنا أن زوايا الفم والغمازات غالباً ذات درجة تناظر أقل من البقية. إن التقويسين الأساسيين يظهران بوضوح كمناطق محدبة شبه متناظرة تحدد موقع المقلتين والجفنين.

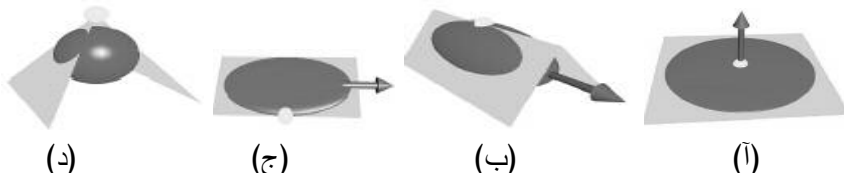
إن أهم متطلبات التعرف الآلي هي تحديد نقاط العلام الثابتة بالنسبة لتعابير وجه مختلفة والتي تتم من خلال إيجاد القيم المحلية الصغرى والعظمى عبر تحديد النقاط ذات التغير في الإشارة من موجب إلى سالب ومن سالب إلى موجب لزاوية α والتي تحقق شرط عتبة محدداً علماً بأن دخل البرنامج هو صورة ثنائية البعد. وقد وجدنا أن الوجوه تميل إلى عدم امتلاك مناطق مسطحة كبيرة أو مناطق كروية، بل بدلاً من ذلك تمتلك نقاطاً مفروزة محدبة، والتي تُعلم صفات مميزة في خطوط التقوس الأساسي. بمساعدة جهة الناظم، يمكننا استبطاط تابع تحديد للحافة. ومن أجل ذلك، نسقط كل عقدة V مع جوارها على نظام إحداثيات xyz متعامد مع جهة الناظم، حيث V هي المبدأ. ثم نفرز الجوار حسب زاويتها حول V . لندع β أكبر فرجة زاوية والتي لا تحتوي أي نقطة جوار. فكلما كانت β أكبر كان احتمال كون V نقطة حافة أكبر. ونتيجة، نميز بين ما يأتي:

عقد حافة: عند نقاط الحافة.

عقد تجعيد: تنتهي عند وصلات، أو نقاط نهاية، أو تتغلق لتشكل حلقة.

عقد نهاية: عند نهايات وحيدة النقطة.

الرَّقْعُ حَوْلَ عَقْدٍ كَهْذِهِ مُبَيَّنٌ فِي الشَّكْلِ 1.



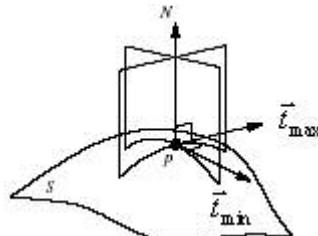
الشكل 1. شكل الرَّقْعُ حَوْلَ عَقْدٍ: (آ) عَقْدٌ سطح، (ب) عَقْدٌ تَجْعُد، (ج) عَقْدٌ حَافَة، (د) عَقْدٌ زَاوِيَّة.

3. تقدير تقوسات السطوح:

تعريف(2): التقوس هو تغير في التوجه.

تقدير التقوس يستغل البنية التفاضلية للصور^[3]. فعند كل نقطة P على السطح يتشكل منحني من تقاطع السطح والمستوي الناظم في اتجاه محدد \vec{t}_i . تقوس هذا المنحني المستوي هو التقوس العمودي k_n عند P في الاتجاه المعطى \vec{t}_i . إن التقوسات العمودية العظمى والصغرى عند نقطة ما تحدد التقوسات الأساسيين k_{min} و k_{max} ، والاتجاهين \vec{t}_{max} و \vec{t}_{min} المصاحبين لكل من التقوسات الأساسيين هما الاتجاهان الأساسيةان للسطح عند P وتبعاً لنظرية أولر هما متعمدان ويحدان مع شعاع الناظم نظاماً متعمداً كما يبين الشكل 2. يتحدد التقوس الوسطي بالعلاقة

$$K = k_{min} \cdot k_{max}. \quad H = (k_{min} + k_{max})/2$$



الشكل 2. التقوسان الأساسيان k_{min} و k_{max} بالاتجاهين الأساسيين \vec{t}_{max} و \vec{t}_{min} .

يصف دليل الشكل (S), *Shape index*, وهو معيار عام لتقوس السطح ونقعره، الشكل المحلي عند نقطة بشكل مستقل عن قياس السطح^[4]، ويتحدد بالعلاقة:

$$S = -\frac{2}{\pi} \arctan \frac{k_{\max} + k_{\min}}{k_{\max} - k_{\min}}, \quad -1 \leq S \leq 1.$$

تمناك نقطة سطح محدب ذي تقوسات أساسية متماثلة $S=1$ ، ونقطة سطح مقعر ذي تقوسات أساسية متماثلة القيمة $S=-1$ ، ونقطة سطح سرجي ذي تقوسات أساسية متماثلة بالقيمة متعاكسة بالإشارة $S=0$ ، أما لنقطة سطح على شكل هضبة فلها $S=0.5$ ، بينما لنقطة سطح على شكل وادٍ تكون لها القيمة $S=-0.5$ ، ويبين الشكل 3 أمثلة لأشكال هذه السطوح.



الشكل 3. أمثلة لأشكال السطوح على التوالي من اليسار إلى اليمين (سطح مقعر، وسطح محدب، وسطح على شكل هضبة، وسطح على شكل وادٍ، وسطح سرجي)

إن مقدار الانحناء هو معيار آخر يصف قياس السطح بشكل مستقل عن شكله $R = \sqrt{k_{\min}^2 + k_{\max}^2} / 2$ ، حيث النقاط المسطحة ذات $R=0$ في حين المناطق المنحنية بشدة ذات R كبيرة القيمة.

رفع السطح المسطحة: عندما تكون قيمة كل من التقوسات الأساسية نفسها. يمكن فصلها مبدئياً بتحديد النقاط التي تتحقق $e < |k_{\max}-k_{\min}|$ ، حيث e هي قيمة عتبة محددة.

رفع السطح الاسطوانية: هي رفع حيث النقاط فيها على شكل قطع مكافئ (أي تقوس غاوص يساوي الصفر) وبتقوس وسطي غير صوري.

سطح شبيه الكرة صغير يحوي المعلومات نفسها كسطح شبيه الكرة كبير حيث الفارق هو القياس وليس المعلومات، من ثم قيمة تقوس أكبر هي معيار مستوى وليس معيار معلومات. إن دليلاً غير صوري لحقل الاتجاه حول نقطة هو مؤشر أكثر وثوقيةً لنقطة

شيبيهة الكرة لأنه يأخذ بالحساب الجوار حول النقطة بدلًا من قيم التقوس عند نقطة وحيدة فقط. فضلاً عما سبق نجد أن التدرج، وهو عملية تفاضلية، يمكننا من اشتقاق الشكل المحلي ومعرفة توجيه السطح في المشهد. ومن ثم فإننا سنستخدم تدرج زوايا توجيه النموذج ثلاثي الأبعاد α حيث تدرج الزاوية α في اتجاه أساسي متاسب مع التقوس الأساسي في هذا الاتجاه:

$$\alpha_{max} = const \cdot k_{max}, \alpha_{min} = const \cdot k_{min} \quad (1)$$

1.3. العناصر الأولية للأشكال:

إن الشكل هو المثل الهندسي لمجموعة نقاط تقع على سطح الجسم الفيزيائي، أو على حافاته أو لمنطقة ذات شدة إضاءة معينة في صورة.

تعريف(3): العنصر الأولي لشكل هو مجموعة من عقدة أو أكثر، وهو نفسه ما ندعوه معلم الجسم.

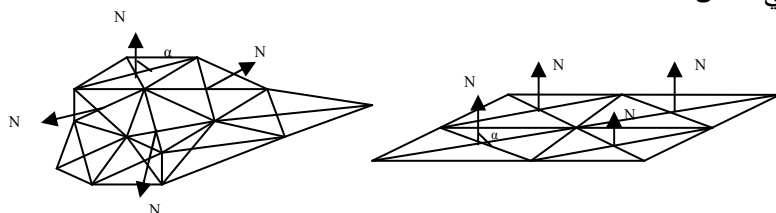
تعريف(4): الموصف هو كينونة، تمثل عنصراً أولياً للشكل (ميزة بارزة في الجسم). يقيس معامل الشكل كيف يتغير نظام السطح N لدى التحرك باتجاهات مختلفة في الفضاء المماس للسطح، كما أن معلومات الشكل تمثل قيمة انتروبوي¹ التقوس curvature entropy. يوصف الشكل بتراكيبة من العناصر الأولية حيث كل عنصر يصف جزءاً محدداً من الشكل الإجمالي. تمكن المعلم المكتشفة من تجزيء مسألة إعادة بناء السطح إلى مسائل فرعية أبسط على رقع سطح ناعم. لكل شكل هناك وصف فريد، وإذا كانت الأشكال متشابهة على نطاق واسع، فلها موصفات متشابهة، حتى لو اختلفت في نطاق ضيق (تفاصيل). تُصنف مناطق السطوح إلى مسطحة، اسطوانية، بيضاوية، أو زائدية المقطع. نقارن عادةً الأشكال لنحكم هل هي متشابهة بشكل كافٍ وليس متطابقة، مع بعض التسامح تبعاً للضجيج والتغطية. تقرب

¹ الانتروبوي هو معيار التأكيد من غرض بعد أخذ خصائصه بالحساب وهوتابع احتمالي للحالات التي يكون عليها الغرض، كلما زاد الانتروبوي زاد عدم التأكيد أي زادت الحالات وزاد احتمال هذه الحالات.

السطوح بسلسلة من n رقعة، حيث تتتألف الأجسام المعقدة من تشكيلات من أجزاء أساسية. فيملك السطح بضعة معالم عند دقة تمييز منخفضة في حين تظهر معالم عديدة عند دقة تمييز عالية. ويفضل عادةً تجاهل المعالم عالية التمييزية وتحليل الخصائص العامة للشكل فقط.

توجد تقنيتان لحساب خصائص السطح: [8] تقنية حجمية الأساس معتمدة على تابع كثافة تقريب، حيث التحليل فيها يتم على سطح منخفض التمييزية نعمت معالمه عالية التمييزية بواسطة طي الكثافة مع تابع غاوص ثلاثي الأبعاد وذي تعارض مناسب، وتقنية سطحية الأساس، والتي توسيط فيها الخصائص ضمن رقعة السطح بدلاً من التوسيط ضمن الحجم.

يوصف الشكل المحلي عند كل نقطة من السطح بواسطة عدة كميات سلمية وشعاعية، والمقيم الخاص بنا يعمل على حقل التوجّه (شعاع الناظم) للسطح. ونظراً لأن لدينا مسحاً منتظماً على كامل السطح، فإن التقوس متناسب مباشرةً مع زوايا التوجّه. سنحلل كامل سطح الجسم بناءً على عناصر رقعة حيث تحتوي كل رقعة أربع عقد كما في الشكل 4.



شكل 4. عناصر رقعة سطح جسم.

نحسب $\Delta\alpha_2 = \alpha_2 - \alpha_4$, $\Delta\alpha_3 = \alpha_3 - \alpha_4$, $\Delta\alpha_2 = \alpha_1 - \alpha_3$, $\Delta\alpha_1 = \alpha_1 - \alpha_2$, $\Delta\alpha_4 = \alpha_4 - \alpha_1$, $\Delta\alpha_1 = \alpha_2 - \alpha_3$, $\Delta\alpha_2 = \alpha_4 - \alpha_3$, $\Delta\alpha_3 = \alpha_1 - \alpha_4$, $\Delta\alpha_4 = \alpha_2 - \alpha_1$, $\Delta\alpha_1 = \alpha_3 - \alpha_2$. عندما تكون الرقعة مسطحة إذا كان $\Delta\alpha_1 = \Delta\alpha_2 = \Delta\alpha_3 = \Delta\alpha_4 = 0$, والرقعة شبه الكرة إذا كان $\Delta\alpha_1 = \Delta\alpha_2 = \Delta\alpha_3 = \Delta\alpha_4 \neq 0$, والرقعة اسطوانية في أحد الاتجاهات الأساسية إذا كان $\Delta\alpha_3 = \Delta\alpha_4 = 0$ و $\Delta\alpha_1 = \Delta\alpha_2 \neq 0$, و اسطوانية في الاتجاه

الأساسي الآخر إذا كان $\Delta\alpha_1 = \Delta\alpha_2 = \Delta\alpha_3 = \Delta\alpha_4 \neq 0$. في المناطق حيث لا توجد تغيرات كبيرة في زاوية التوجّه، نحفظ في قاعدة المعطيات فقط عقد الحافات وإحداثياتهم من أجل تخفيض حيز التخزين اللازم. نحسب معلومات الأشكال باستخدام الانتروبي:

$$E(\alpha) = - \sum_i p_i \log p_i$$

حيث p_i تابع كثافة الاحتمال المنفصل للمتحول العشوائي α .

سنحدد لكل نوع وجهاً (مثلاً بيضاوي) ونوع معالم (مثلاً شفاه ممتلئة) موصف الشكل الخاص بها. تميز قيم الموصفات المختلفة بين ثلاث مجموعات وجوه رئيسية مختلفة تبعاً للعمر، والجنس، والعرق، والتي تتنزع المميزات التفردية. إن قيم الزوايا الكبيرة تتعلق بالوصف العام، في حين قيم الزوايا الصغيرة تتعلق بالتفاصيل الدقيقة. من ثمَّ يتم القرار عن العرق، والجنس، وال عمر باستخدام قيم زوايا كبيرة، في حين تُحدَّد الهوية الفردية يتم باستخدام قيم الزوايا الصغيرة. سيتم ذلك من خلال مسح النموذج ثلاثي الأبعاد في الاتجاهين الأساسيين، وهما اتجاه المحور x و اتجاه المحور z .

2.3. تنظيم العناصر الأولية للأشكال:

تعريف(5): تنظيم العناصر الأولية للأشكال هو عبارة عن تمثيل الشكل كشبكة بيانية (أو شبكة فوق البيانية **hyper-graph**) حيث ترمز العقد إلى عناصر أولية أو مجموعات من عناصر أولية، والأقواس ترمز إلى العلاقة بينهم. إن القرار عن تجميع سمات محددة يتم نموذجيًا بقياس أشكال مختلفة من الهندسة الفراغية النسبية المتعلقة بهم وبمقارنتها هذه القياسات مع قيم عتبات محددة. إذا كانت قيمة زاوية ميل النظام لعقدتين قريبة إلى حد كافٍ، ولا توجد أية زاوية بارزة بينهما يتخذ قرار بتجميعهما، مولدين سمة جديدة ترمز إلى عقدتين تقعان على المستوى نفسه. ويجب أن لا تتجاوز أية مجموعة حدود الجسم. نتيجة المطابقة من المستوى الأعلى تؤمن نقطة بداية متقدمة في البحث عن مطابقة أكثر اكتمالاً. إن هذا يتطلب

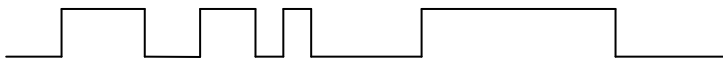
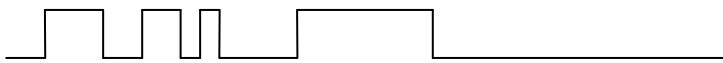
ثلاث سمات نقطية إذا كان الجسم صلباً، وأقل إذا كانت للسمات نقطية توجيهات مصاحبة (مثلاً كما للوصلات)، وأكثر إذا كان الجسم قيد التعرف نوعاً ما مرتناً. إن البنية العلاقية هي مجموعة من شبكتين بيانيتين، شبكتان ثنائية العقد تمثلان عنصرين هندسيين أوليين وعلاقات التوضع بينهما (اتصالية العقد). تستخلص عملية الفهرسة العلاقية السمات، تحولها إلى شبكتين بيانيتين، وتستخدمهما للفهرسة ضمن قاعدة معطيات النماذج ويستخدم التصويت من أجل أصناف المشهد لتلك الأجسام ذات البنية المتشابهة.

يتحدد الشكل داخل الجسم بإحدى طريقتين، محددة الحافات (الداخل ضمن مجموعة متصلة من النقاط ذات قيمة محددة)، أو محددة الداخل (الداخل هو أكبر مجموعة من النقاط المتصلة الحاوية النقطة المولدة والتي لها قيمة هذه النقطة نفسها). أي منطقة متصلة يمكن أن تكون إما شبكة رباعية الاتصال 4-connectivity (أي نقطتين متصلان إذا كان بينهما مر بالتحرك أعلى أو أسفل أو يساراً أو يميناً)، أو شبكة ثمانية الاتصال 8-connectivity (أي نقطتين متصلان إذا كان بينهما مر بالتحرك أعلى أو أسفل، يساراً أو يميناً أو أعلى-يساراً أو أعلى-يميناً أو أسفل-يساراً أو أسفل-يميناً).

3.3. التمثيل بواسطة عرض النبضة المتغير:

حفظنا في قاعدة المعطيات لكل صورة بنية معطيات النموذج ثلاثي الأبعاد، و التي تتضمن إحداثيات العقد وزاوية ميلها. لاحقاً عندما نأخذ صورة للتعرف، نحوال الصورة إلى نموذجها ثلاثي الأبعاد ومخطط زواياها. ومن ثم نقارن هذا النموذج مع النماذج المثبتة في قاعدة المعطيات، فإذا لم نجد تطابقاً نمرر النموذج عبر إجراء دوران بزاوية محددة حول المحاور x , y , z على التوالي تبعاً لمنطق محدد. نجري المقارنة بشكل متكرر باستخدام تقنية أسميناها تقنية حلقة مطابقة الجسم (OML) ، والتي تحسب $\Delta\theta$ ، وعندما $\delta = \Delta\theta$ (حيث δ قيمة ثابتة

تنتهي إلى الصفر) هذا يعني أن المطابقة قد حصلت وبتقريب معين. سنتمثل الجسم بشكل حيث قيم زوايا التوجّه للنموذج ثلاثي الأبعاد، المحسوبة باستخدام طريقة حساب توجّه الجسم^[1]، تحول إلى قيم عرض نبضه كما في الشكل 5، تقنية دعوناها صيغة عرض النبضة المتغير (VRWF) للأجسام.



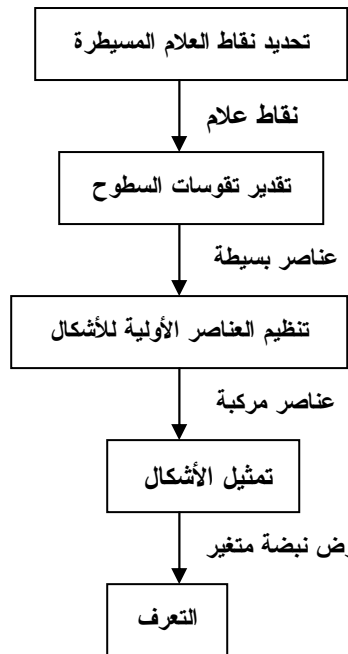
الشكل 5. التمثيل بواسطة عرض النبضة المتغير من أجل شريطين لصورة وجه كمثال.

إن هذا التمثيل مناسب جداً لاستخدامه في تطبيقات مختلفة مثل تقنيات الضغط، أو في الرسوم المتحركة وخصوصاً في حل مسألة تزامن الصورة مع الكلام، أو في تأمين التزامن في الاتصالات الحديثة^[2].

4.3. النظام البرمجي:

يتتألف النظام البرمجي من الإجرائيات المبنية على المخطط الانسيابي في الشكل 6. كما بُنيَت قاعدة المعطيات الأولية للتتألف من $N=252$ نموذج وجه مخزن، حيث محسوبة أخذًا بالحسبان 2 مجموعات جنس، و 3 مجموعات عمر، و وجهاً حياديًّا، و 6 تعابير عاطفية، و 3 مجموعات عرق، و 2 اتجاهًا للوجه.

ندخل إلى البرنامج صورة ثنائية البعد للوجه ونحصل في الخرج على نسبة تطابق الوجه مع الوجه المخزن في قاعدة المعطيات، حيث تظهر النتيجة خلال 0.8 من الثانية تقريباً بحال أجريت عمليات المعالجة المسبقة preprocessing، أما مقدار الزمن الكلي مضافاً إليه زمن المعالجة المسبقة فهو 4.2 دقيقة تقريباً.



الشكل 6. المخطط الانسيابي للبرنامج.

4. التعرف:

يتم التعرف على أي جسم بواسطة سماته (العناصر الأولية للشكل)، ونموذج الجسم يحدد هذه الخصائص. عند التعرف على جزء فرعي، نستخدم أولاً السمات الخشنة من ثم نتابع إلى الأنعمة منها. بتحليل البحث بهذه الطريقة، يستبدل بحث كبير ببحوث كثيرة أصغر مما يقود إلى حسابات أقل. تبني الفهرسة على التجزيء الهندسي، والمطابقة على الرصف. يتم تجزيء الجسم إلى مقاطع مختلفة، والتي تصبح بدورها العناصر الأولية المفهرسة والتي على ضوئها يتم التعرف على جسم محدد. بدلاً من تخزين

كامل المعطيات الهندسية لكل جسم، تخزن فقط المؤشرات المفهرسة لأجزاء الجسم المختلفة.

1.4. الوجه الوسطي:

الوجه الوسطي $r_0(\theta, t)$ هو متوسط الوجوه الموجودة في قاعدة المعطيات الأولية التي تحتوي 108 وجه.

عندما أي وجه يكون $r(\theta, t)$ والذي هو عبارة عن تبديل حول الوجه الوسطي حيث $\rho(\theta, t)$ هي التغيرات التي تلقط هوية الشخص (حيث $\rho < 1$).

$$r(\theta, t) = r_0(\theta, t) + \rho(\theta, t) \quad : \quad r_0 = I/N \sum_{k=1}^N r^k(\theta, t), \quad \rho = \sum_i \alpha_i \psi_i(\theta, t) \quad (2)$$

حيث حسبت قيمة $N=252$ وفقاً للاعتبارات المذكورة في الفقرة (4.3).

يطبق عامل الزمن t عند وجود إما تغيرات آتية (رسوم متحركة) أو تغيرات طويلة الأمد (نمو وهرم)، حيث θ متناسبة مع t .

2.4. بنية المعطيات:

من الضروري استخدام بنى معطيات فراغية لإيجاد الأجسام ثلاثية الأبعاد ضمن منطقة محددة بأقصى سرعة. البنى الآتية مناسبة للاستخدام من أجل هذا الغرض.

شجرة الصناديق المداخلة: تتكون من صناديق ثلاثة الأبعاد متداخلة والتي تحوي إما أجساماً هندسيةً أو صناديقً المستوى اللاحق من الشجرة. تجمع الأجسام تبعاً لنقطة مركز الصندوق المحيط بها. وبهذه الطريقة من المستحيل أن تصبح الشجرة غير متوازنة.

شجرة الصناديق غير المداخلة: هي مصفوفة حجمية بعقد ثنائية على أساس مبدأ التحليل العودي للفراغ. الصناديق هنا غير متداخلة. كل عقدة تشير إلى منطقة هندسية واحدة بارزة، ولا يمكن لأي عقدة أخرى أن تغطي المنطقة نفسها. إن بنية المعطيات

الخاصة بنا تسمح بتخزين ليس الحجم الكامل للجسم، ولكن فقط العقد (نقاط السطح) الضرورية، والتي دعوناها شجرة نقاط السطح.

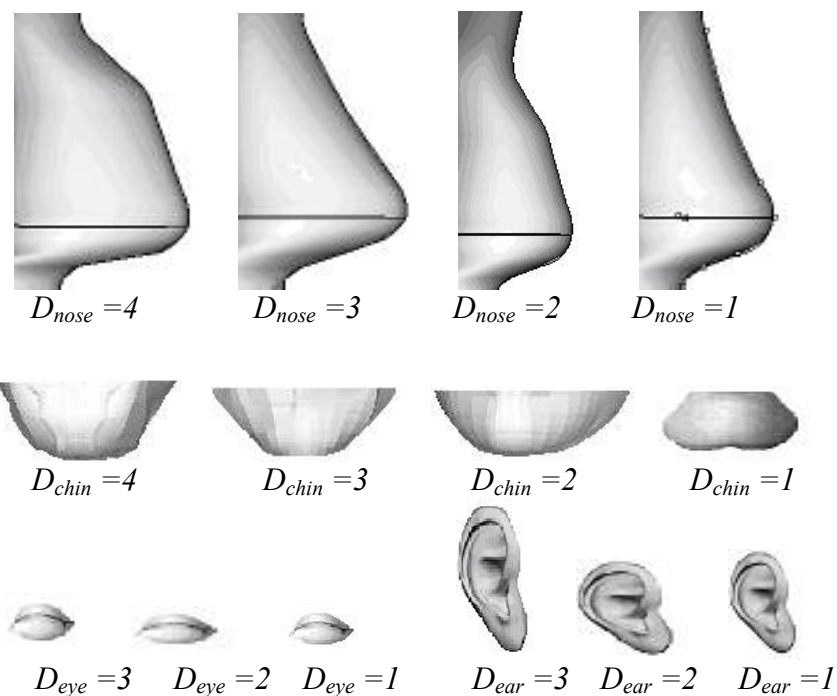
5. النتائج التجريبية:

الوجه البشري هو الجزء الرئيسي من الرأس المستخدم للتعرف ومبني بطريقة هرمية كما هو مبين في الشكل 7. الأجزاء الرئيسية معلمة بقطع ناقص ومناطق التجاعيد مبنية بخطوط، وكل جزء مع أجزاءه الفرعية لها نظام إحداثياتها الهرمي الخاص. هذه البنية تجعل حساب معاملات الوجه أسهل. إذ على سبيل المثال يتم فقط تغيير نظام إحداثيات الفم عندما يتحرك الفم.



الشكل 7. البنية الهرمية للوجه البشري.

لدى تحليلنا للوجوه وتجزيئها إلى مكوناتها الأساسية استطعنا تصنيفها بناءً على تصنيف هذه المكونات ويبين الشكل 8 مثلاً لمجموعة مختلفة من نماذج الأنف ورأس الذقن والأذن وحجرة العين التي حصلنا عليها والتي أسننا إلى كل نموذج منها $D_{ear}=\{1,2,3\}$, $D_{chin}=\{1,2,3,4\}$, $D_{nose}=\{1,2,3,4\}$, $D_{eye}=\{1,2,3\}$.



الشكل 8. مثال لمجموعة مختلفة من نماذج الأنف ورأس الذقن والأذن وحجرة العين حيث كل نموذج أُسندت إليه قيمة موصف خاصة.

حفظنا في قاعدة المعطيات لكل صورة بنية معطيات للنموذج ثلاثي الأبعاد، والتي تتضمن إحداثيات العقد وزاوية ميلها، و في المناطق حيث لا يوجد تغير كبير في زاوية التوجّه، نحفظ في قاعدة المعطيات فقط عقد الحافات وإحداثياتها لتخفيض الحيز اللازم.

ومن أجل الحصول على تمثيل واقعي وصحيح لسطح الوجه، ولل باستخدام الفعال لطريقة ع ن م، وجدنا أنه يجب تزيين لكل عقدة فرق زوايا الميل بالنسبة لاتجاهي

$$\alpha_{max} = \alpha l - \alpha 2, \quad \alpha_{min} = \alpha l - \alpha 3$$

تضمنت مجموعة صور الاختبار 15 صورة وجه، عولجت معالجة أولية وخضت إلى قياس 200×200 بيكسل و 16 مليون تدرج رماديات. الصور في شروط أخذ مختلفة، وزوياً استداره وجه مختلفة، وشروط إضاءة، وتعابير وجه مختلفة. في البداية في بعض العينات، لم نستطع استخلاص مميزات الوجه، في عينات أخرى لم يكن استخلاص المميزات صحيحًا تماماً، لعل ذلك بسبب الإضاءة غير المنتظمة، مما قادنا إلى تسوية النصوع في عينات الصور وتدرج الصور إلى القياس نفسه. بعد عملية المعالجة الأولية لاحظنا تحسيناً ملحوظاً في تحديد المميزات ومن ثمَّ في الأداء الكلي للنظام. ومن تقييم نتائج التجارب توصلنا إلى ما يأتي:

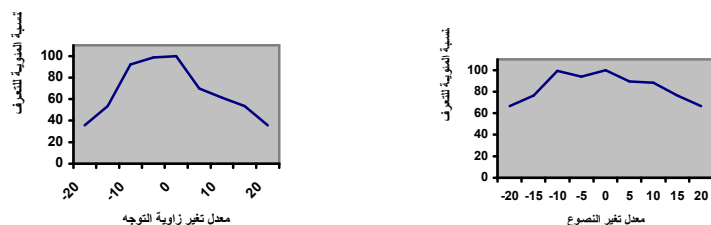
- نظراً لأننا سنخزن زوياً الميل لعقد معينة للنموذج ثلاثي الأبعاد للوجه في قاعدة المعطيات البيانية، سيُخفض حجم المعطيات على الأقل إلى 33% (مثلاً من 43 كبايت إلى 29 كبايت لكل نموذج)، ويمكن أن يكون ذلك أكثر اعتماداً على التطبيق.
- تسمح صيغة N لنا بتحقيق التعرف ضمن تركيبة العتاد (مثلاً دارات FPGA) وإرسال المعطيات بسهولة وفعالية عبر وسيط الاتصال بالإضافة إلى مزامنة المعطيات بين المرسل والمستقبل دون الحاجة لإرسال معلومات الساعة.
- لأجل التقييم أخذنا نصوعاً معيارياً Bn وتوجهاً معيارياً (مثلاً بالزوايا الثلاث $A=B=C=0$) محسوبة لوجه وسطي، وهو وسطي N وجهًا.

بيّنت التجارب التي قمنا بها أن ازدياد النصوع يقلل نسبة التعرف وبأن تغيير اتجاه الوجه إلى الأعلى يقلل نسبة التعرف أيضاً حسب ما هو مبين في الشكل 9.

- تختلف متطلبات تمثيل النماذج ثلاثية الأبعاد عن متطلبات التمثيل من أجل الرؤية الواقعية. بعد بناء النموذج ثلاثي الأبعاد أي عند الانتقال من الفضاء الثنائي إلى الفضاء ثلاثي الأبعاد، من الضروري إيجاد طريقة للرجوع إلى الفضاء ثنائي البعدين أو تمثيل المعطيات. عموماً يمكن القول: إن اختيار الطريقة يعود إلى هدف وإستراتيجية حل المهمة.

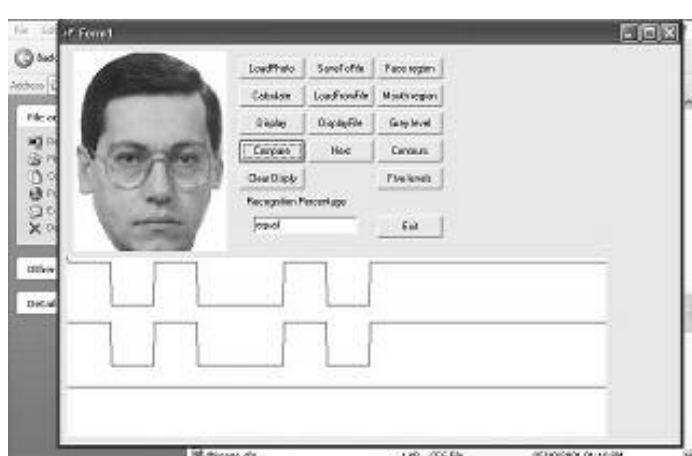
ومن ثمَّ فان كل ما توصلنا إليه أعلاه يبرر اختيارنا لطريقة التمثيل عن طريقها طريقة فعالة. كما نستنتج أنه مع أن الطريقة حساسة للتغيرات الإضاءة والتوجة، لكنها اقتصادية في حفظ المعطيات، والتحقيق العتادي، ومناسبة للتزامن في الاتصالات.

ومن ثمَّ، للتغلب على مساوى هذه الطريقة نحتاج لتوحيد شروط الإضاءة والتوجة بين الصور، وأخذ شرائط استخراج الأعمدة على العقد في موقع محددة ترتبط بنقط عالم الوجه المستخرج. هذه الإجراءات تزيد التعرف.

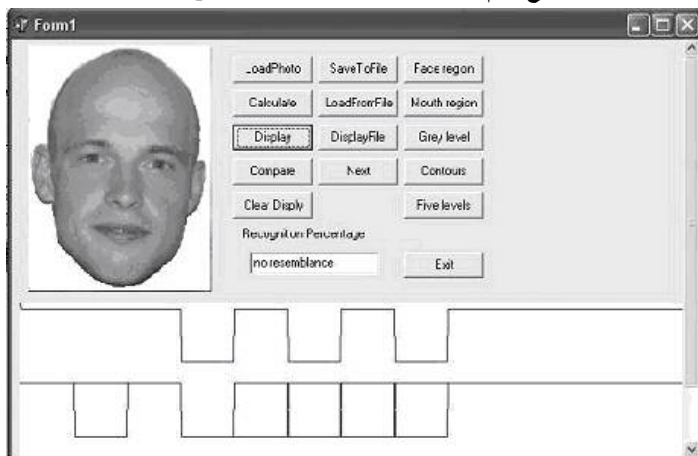


الشكل 9. نسبة التعرف نسبة إلى معدل تغير النصوع ومعدل زاوية التوجة.

نماذج من شاشات البرنامج مبينة في الشكلين 10 و 11.



الشكل 10. عينة لأحد شاشات البرنامج تبين نتيجة المقارنة لصورة الشخص نفسه باستخدام تمثيل .equal



الشكل 11. عينة لأحد شاشات البرنامج تبين نتيجة المقارنة لصورة شخصين مختلفين باستخدام تمثيل .no resemblance

6. خاتمة:

مع أن كثيراً من طرائق التعرف على الوجوه قد اقتربت منذ عهد بعيد، لكنها لا تزال تعاني من التعقيد والتحقيق المكلف. تعد طرائق بروكس^[15] ولو^[17] غرضية التمركز الأكثر دقةً وإيجازاً في وصف الأشكال لكنها تخفق عندما الأغراض بحالة تغطية جزئية. يستخدم ديكسون، بنتلاند^[16]، ولو^[17] إجراء مقارنة والذي يتبنى الإسقاط للأجسام ثلاثية الأبعاد على صورة ثنائية الأبعاد، وهي مهمة أصعب من الإجراءات الثنائية/ثنائية الأبعاد أو الثلاثية/ثلاثية الأبعاد. طرائق من斯基^[18]، برنس، رايزن^[19]، بتيجان، بونس، كريغمن^[20]، أولمن^[23]، برويل^[21]، كامبس، شابيرو ، هاراليك^[22]، ادلمن، و بلتهوف^[24] مشهودية التمركز أبسط لكنها تتطلب حيز قاعدة معطيات أكبر. يتعرف كل من ديكسون، بنتلاند، وروزنفيلد^[25] أولاً على أجزاء عامة بواسطة مشاهدهم المميزة، من ثم تُركبُ هذه الأجزاء ضمن توصيف جسمي التمركز

للمقارنة مع نماذج أجسام. يستخدم كل من زانغ، سوليفان، و باقر [26] كلا التمركزين المشهدي والجسمي لكل جسم من أجل التعرف. استخدمت التوصيفات مشهدية التمرکز لإيجاد مطابقة تقریبیة سریعة، من ثم يتم التحقق من هذه المطابقة باستخدام طريقة التمرکز الجسمي.

تبين هذه الورقة أن نظامنا من أساس بنائه ثابت ضد كل أنواع التغيرات، ويجمع أفضل المزايا للطائق الموجودة. حسبنا فروق الزوايا بين نقاط مأخوذة على سطح الوجه وبناءً على هذه الزوايا، تنقل بعدها النقاط إلى فضاء افليدي منخفض الأبعاد، مما يعطي نموذج سطح ثابت متساوي القياس، والذي هو بدوره متصل ضد التغيرات في الموقع، والإضاءة، وتعابير الوجه. في النهاية يقارن النموذج مع قاعدة معطيات من النماذج.

المراجع

- [1] Al-Akkad M. A. and Kochuhanov V. N., A framework for building a general 3D model, Izhevsk, May 2003.
- [2] Al-Akkad M. A. and AboulNour H., Design and Implementation of a developed bit-synchronizer for synchronous data communication and its computer simulation for testing and development purposes//Engineering Sciences Journal. – Damascus University, 1996. – In 12 v. – V.2. Thesis Abstract p. 178.
- [3] Al-Akkad M. A., AboulNour H., Using curvature and neural networks for recognizing faces//accepted to be published in Damascus University journal.
- [4] McIvor A. M. and Waltenberg P. T., Recognition of simple curved surfaces from 3D surface data. IRL Report 690, Industrial Research Limited, March 1997.
- [5] Kumar P., Simplification and Reconstruction ,University of New York at Stony Brook, 1999.
- [6] Zhou L. and Kambhamettu C., Extending Superquadrics with Exponent Functions: Modeling and Reconstruction, University of Delaware, 2000.
- [7] DeCarlo D. and Metaxas D., Blended deformable models, IEEE Trans. Pattern Anal. Mach. Intell. 18(4), 443–448, 1996.
- [8] Fejes S. D. and Rosenfeld A., Discrete Active Models in Vision Geometry, University of Maryland, 1996.
- [9] Vetter T. and Poggio T., Image synthesis from a single example image. In Proceedings of the European Conference on Computer Vision, Cambridge UK, 1996.
- [10] Kumar P., Simplification and Reconstruction, University of New York at Stony Brook, 1999.
- [11] Oosterom. P. J. M. van, Stoter J. E., Zlatanova S., Quak W. C., The balance between Geometry and Topology, Advances in Spatial Data Handling, 10th International Symposium on Spatial Data Handling, Richardson D. and Oosterom P. van (Eds.), Springer-Verlag, Berlin, pp. 209-224, 2002.

- [12] Shi W. Z., Yang B. S. and Li Q. Q., An Object-Oriented Data Model for Complex Objects in Three-Dimensional Geographic Information Systems. *International Journal of Geographic Information Science*, 2002.
- [13] Pilouk M., Integrated modelling for 3D GIS, PhD thesis, ITC, The Netherlands, 1996.
- [14] Billen R., Zlatanova S., Mathonet P. and Boniver F., The Dimensional Model: a framework to distinguish spatial relationships, in: *Advances in Spatial Data handling*, Richardson D., Oosterom P. van (Eds.), Springer, pp. 285-298, 2002.
- [15] Brooks R. A., Symbolic reasoning among 3-D models and 2-D images. *Artificial Intell.*, 17: 285–348, 1981.
- [16] Dickinson S. J. and Pentland, A. P., A unified approach to the recognition of expected and unexpected geon-based objects. In *Applications of Artificial Intell. X: Machine Vision and Robotics*, vol. 1708, SPIE, pp. 614–627, 1992.
- [17] Lowe D. G., Fitting Parameterized 3-D Models to Images. *Tech. Rep. 89-26*, Dept. of Computer Science, Univ. of British Columbia, 1989.
- [18] Minsky M., A framework for representing knowledge. In *The psychology of computer vision*, ed. by P.H. Winston, pp. 211–277, 1975.
- [19] Burns J. B. and Riseman E. M., Matching complex images to multiple 3D objects using view description networks. In *Proc. IEEE Conf. Comput. Vis. Patt. Recogn.*, pp. 328–334, 1992.
- [20] Petitjean S., Ponce J. and Kriegman D. J., Computing exact aspect graphs of curved objects: Algebraic surfaces. *Int. J. Comput. Vision* 9(3): 231–255, 1992.
- [21] Breuel, T. M., Geometric Aspects of Visual Object Recognition. Ph.D. dissertation, Dept. of Brain and Cognitive Sciences, Mass. Inst. Technol., 1992.

- [22] Camps O. I., Shapiro L. G. and Haralick R. M., PREMIO: An overview. In Proc. Workshop on Directions in Automated CAD-Based Vision, Maui, Hawaii: IEEE Computer Society Press, pp. 11–21, 1991.
- [23] Ullman S., Aligning pictorial descriptions: An approach to object recognition. *Cognition* 32: 193– 254, 1989.
- [24] Edelman S. and Bülthoff H. H., Orientation Dependence in the Recognition of Familiar and Novel Views of Three-Dimensional Objects. *Vision Res.* 32(12): 2285–2400, 1992.
- [25] Dickinson S. J., Pentland A. P. and Rosenfeld A., 3-D shape recovery using distributed aspect matching. *IEEE Trans. Patt. Anal. Machine Intell.* 14(2): 174–198, 1992.
- [26] Zhang S., Sullivan G. and Baker K., Using automatically constructed view-independent relational model in 3D object recognition. In Proc. European Conf. Comput. Vis., pp. 778–786, 1992.

تاريخ ورود البحث إلى مجلة جامعة دمشق 2005/6/23